

九州大学 工学部 正員 小坪清真
 九州工業大学 正員 高西照彦
 九州工業大学 学生員 ○坪根康雄
 九州工業大学 学生員 井上純一

1. まえがき

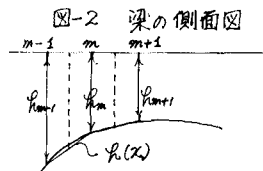
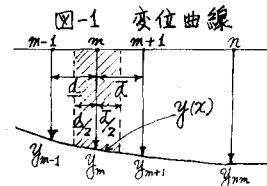
閣内橋、本四連絡橋に代表されるが如く、構造物は益々、長大化する傾向にあり、耐震設計の際、かなり高次の固有振動数まで必要とする場合が少くない。そこで、著者等の内、小坪等は従来の多質点系置換法に代わる、より精度の高い固有値計算法（代表点法）を提案した。¹⁾ 代表点法が多質点系置換法と異なるのは、慣性力を各代表点間に分布する分布荷重としている点で、その分布型は2次曲線で近似されてい。著者等の内、小坪・高西等は本法を簡単な構造モデル（等断面梁）などに適用して^{2), 3)} いた。本論は、代表点法の考え方に基づき、より一般化された振動方程式を導き、本法の適用範囲を変断面梁まで拡張したものであり、合わせて、変断面単純支持梁の固有振動数の算定における本法と、多質点系置換法との精度を比較、検討した。

2. 変断面梁の振動方程式

前論で詳論した如く、変位曲線 $y(x)$ 、変位係數曲線 α_{nx} を2次曲線で近似する。（図-1）又、橋梁等の長手方向側面は区間的に直線変化 $R(x)$ として差支えない。（図-2）

このとき、代表点 m を中心とする $(\pm d)/2$ の区間の分布慣性力による各点の変位は、

$$y_{nm} = - \int_{-d/2}^{d/2} \frac{\delta p}{g} h(x) \cdot y(x) \cdot \alpha_{nx} dx \quad \dots \dots (1)$$



ここに、 δp は単位体積重量、 h は梁の断面巾である。

(1)の積分区间を便宜上、 $-d/2$ から 0 、 0 から $d/2$ に分けて積分を実行すると次式を得る。

$$y_{nm} = - \frac{\delta p}{g} \frac{d^3}{240} \left[\frac{1}{720} [\mathbf{D}_r]^T \begin{pmatrix} 1 & -8 & -3 \\ -8 & 88 & 20 \\ -3 & 20 & 13 \end{pmatrix} + h_{nm} \frac{20}{168} \begin{pmatrix} 1 & -20 & -13 \\ 13 & 72 & 111 \\ -13 & 72 & 111 \end{pmatrix} \right] + \frac{d}{960} [\mathbf{D}_r]^T \begin{pmatrix} 111 & 72 & -13 \\ 72 & 168 & -20 \\ -13 & -20 & 3 \end{pmatrix} + h_{nm} \frac{20}{88} \begin{pmatrix} 13 & 20 & -3 \\ 20 & 88 & -8 \\ -3 & -8 & 1 \end{pmatrix} \quad \dots \dots (2)$$

ここに

$$[\mathbf{D}_r] = \begin{pmatrix} 1 & \frac{1}{4} \frac{d+2a}{a+d} & 0 \\ 0 & \frac{1}{4} \frac{d+2a}{a} & 1 \\ 0 & 0 & \frac{1}{4} \frac{d^2}{a(a+d)} \end{pmatrix}, \quad [\mathbf{D}_r]^T = \begin{pmatrix} 0 & -\frac{1}{4} \frac{d^2}{a(a+d)} & 0 \\ 1 & \frac{1}{4} \frac{d+2a}{a} & 0 \\ 0 & 0 & \frac{1}{4} \frac{d+2a}{a+d} \end{pmatrix}, \quad \{y_m\}^T = (y_{n(m-1)}, y_{nm}, y_{n(m+1)}), \quad \{\ddot{y}_m\}^T = \begin{pmatrix} \ddot{y}_{m-1} \\ \ddot{y}_m \\ \ddot{y}_{m+1} \end{pmatrix}$$

h_{nm} ； m 点は単位荷重が働く

ときの各点の変位

(2)式が、変断面梁の振動方程式で、断面が曲線変化の場合も区間的に直線近似することにより又、代表点を梁の任意点に選んだ場合にも適用出来、 $a = d$ 、 $\delta p = \text{一定}$ とすれば、前論に示した式に一致する。なお、境界点、端点では、多少の修正が必要であるが、その導き方は(2)式と同様であるか

う、……は省略ある。

今、 $\alpha = \pi$ とおくと、(2)式は簡単になります

$$y_{mm} = \frac{-68}{g} \left(\frac{1}{7680} \begin{cases} h_{m+1} \begin{pmatrix} 59 & 186 & -25 \\ 186 & 740 & -86 \\ -25 & -86 & 11 \end{pmatrix} + h_m \begin{pmatrix} 114 & 172 & -86 \\ 172 & 5016 & 172 \\ -86 & 172 & 114 \end{pmatrix} + h_{m+1} \begin{pmatrix} 11 & -86 & -25 \\ -86 & 740 & 186 \\ -25 & 186 & 59 \end{pmatrix} \end{cases} \right) \quad \dots \quad (3)$$

(3) 式の [] 内を $[U_m]$ とおくと、各点の変位は、次式のように表わされる。

$$y_n = - \sum_{m=1}^g \frac{b_m}{g} \{f_m\}^T \left[\begin{matrix} [de] \\ [e] \end{matrix} \right] \quad \dots \dots \dots \quad (4) \quad \text{但し、} g \text{は代表点の数である。}$$

(4)式において、 $y_m = Y_m \sin \omega t$ とおくと、振動微分方程式が次式のように得られる。

$$\{Y\} = \frac{B^2}{g} \omega^2 [A][C] \{Y\} \quad \dots \dots \dots \quad (5)$$

$$\text{但 } L, \{y_i\} = \begin{pmatrix} y_1 \\ \vdots \\ y_n \end{pmatrix}, [A] = \begin{pmatrix} d_{11} & \cdots & d_{1g} \\ \vdots & \ddots & \vdots \\ d_{g1} & \cdots & d_{gg} \end{pmatrix}, [C] = \begin{pmatrix} [C^e] & & 0 \\ & [C^m] & \\ & & [C^o] \end{pmatrix}$$

参考までに、多質点系置換法による振動数方程式を挙げると、

$$\{Y\} = \frac{1}{q} \omega^2 [A][W] \{Y\} \quad \dots \dots \dots \quad (6)$$

$$\text{但し、} [W] = \begin{bmatrix} w_1 & & \\ & \ddots & 0 \\ & w_m & \\ 0 & & w_n \end{bmatrix} \quad w_{im}; m\text{点に集中する重量}$$

(5), (6)式を比較すると、(5)式の $[U]$ が、(6)式の $[W]$ に相当しており、 $[W]$ が対角マトリクスであるのに対し、 $[U]$ は三重対角行列になっており、代表点法の特徴がよく理解出来る。

3. 計算例

奇節において、 $d = \pi$ として導いた(4)式を用いて、図-3に示す可変漸面単純梁の固有振動数を $\kappa = 1.0, 0.5$ の2通りの場合について求め、その結果を図-4に示す。但し、図中、Aは多質点系振換法、Bは代表点法で、厳密解に対する誤差を表わしてある。なお、凸 π の場合、及び、ディビダーグ橋に対する本方法の適用例については、目下、計算中であり、計算結果、及び、考察は講演時に譲る。

図-3 変形面単純梁

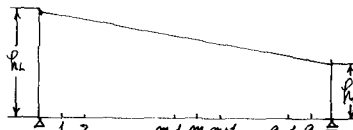
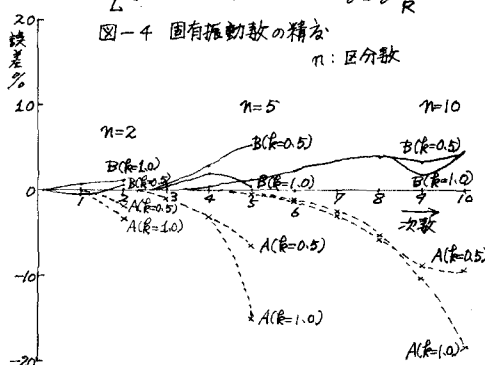


図-4 固有振動数の精度

九：区分数



- (1) 小坪・川人「連続弾性体と多質点系に置換する場合の精度向上について」 第24回 全日本大会講演概要 昭44.9
 - (2) 小坪・高西・川人「代表点法による連続弾性体の固有値計算法」九大工学雑誌 Vol.43, No.5, P64, 昭45.10
 - (3) 小坪・高西「代表点法による連続弾性体の固有値計算法」第25回 全日本大会講演概要